

Auteurs d'une centrale nucléaire (Centrale 1200M)

Étude du circuit primaire

Q1 - Un crayon combustible posé de sa surface latérale

$$S = 2\pi R_4 H = \pi dH. \text{ Soit le module proposé, pour un } N \text{ crayons}$$

exposent cette surface \$S\$ à l'eau : $S_{\text{tot}} = N S = \pi dHN$.

A.N.: (non-demandée) : Soit = $\pi \times 9,50 \times 10^{-3} \times 3,66 \times 10^4 \text{ m}^2$

$$\Rightarrow S_{\text{tot}} \approx 1527,5 \text{ m}^2.$$

Q2 - On étudie le système transmission de chaleur combustible comprise entre les systèmes coaxiaux de rayons \$r\$ et \$r+d\$ et de hauteur \$H\$.

Le système est supposé inflexible et rose immobile, donc selon la première loi de la thermodynamique : $dU = \delta Q$.

En , en régime stationnaire : $dU = U(r, t+dt) - U(r, t) = 0$.

On en déduit : $\delta Q = \phi(r) |dr - \phi(r+d) |dr + P_0 dr dt$

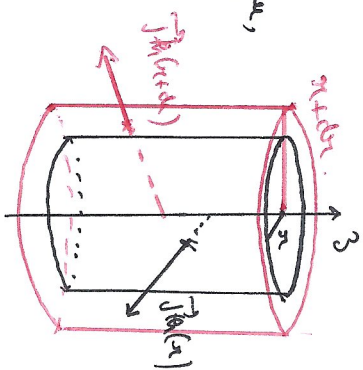
avec $dr = 2\pi r H dr$.

le système étant de forme cylindrique,

j_{th} est radial : $j_{\text{th}} = -\lambda \frac{dT}{dr}$

selon la loi de Fourier.

$$\text{On } \left\{ \begin{aligned} \phi(r) &= \int_{r+d}^r j_{\text{th}}(r) \cdot dS = j_{\text{th}}(r) 2\pi r H \\ \phi(r+d) &= j_{\text{th}}(r+d) \cdot 2\pi (r+d) H \end{aligned} \right.$$



car $j_{\text{th}}(r)$ est unitaire sur la surface de rayon \$r\$.

donc : $\delta Q = 0 \Rightarrow [r j_{\text{th}}(r) - (r+d) j_{\text{th}}(r+d)] 2\pi r H dr + P_0 dr dt = C$

$$\Rightarrow -\frac{d}{dr} (r j_{\text{th}}) 2\pi r H dr + P_0 \cdot 2\pi r H dr = 0$$

$$\Rightarrow \frac{d}{dr} \left(r \frac{dT}{dr} \right) + \frac{P_0}{\lambda} r = 0 \quad (1) \text{ pour } r \in [0; R_3]$$

On recherche l'expression demandée en posant $A = \frac{R_0}{\lambda_2}$.

Q3 - \$P_0\$ et \$\lambda_2\$ sont des constantes. On cherche (1) :

$$r \frac{dT}{dr} = -\frac{R_0}{2\lambda_2} r^2 + B \quad (B: \text{constante scalaire})$$

$$\Rightarrow \frac{dT}{dr} = -\frac{R_0}{2\lambda_2} r + \frac{B}{r}$$

$$\Rightarrow T(r) = -\frac{R_0}{4\lambda_2} r^2 + B \ln(r) + C \quad (C: \text{constante scalaire})$$

la température ne pouvant diverger quand \$r \to 0\$: $B = 0$.

De plus $T(R_3) = T_2 \Rightarrow -\frac{R_0}{4\lambda_2} R_3^2 + C = T_2 \Rightarrow C = T_2 + \frac{R_0 R_3^2}{4\lambda_2}$

On en déduit : $T(r) = \frac{R_0}{4\lambda_2} (R_3^2 - r^2) + T_2$

Q4 - Pour connaître les flux thermiques à l'interface \$r = R_3\$:

$$j_{\text{th}}(r = R_3^-) = j_{\text{th}}(r = R_3^+) \quad \text{avec } j_{\text{th}} = \frac{dq_{\text{th}}}{ds} = h(T_3^- - T_3^+)$$

$$\Rightarrow \lambda_2 \frac{dT}{dr} (R_3) = h_2 (T_3^- - T_2)$$

Rq : $\frac{dT}{dr} < 0$ et $T_3^- - T_2 < 0$ (ce qui est physiquement la conséquence). On en déduit : $-\frac{h_2 R_3}{\lambda_2} = h_2 (T_3^- - T_2)$

$$\Rightarrow T_3 = T_2 - \frac{P_{v, \text{tot}} R_3}{2 R_2}$$

avec $P_{v, \text{tot}}$ la puissance volumique totale générée par les N diodes
de semiconducteur : $P_{v, \text{tot}} = \frac{P_1}{\pi R_3^2 H N}$

$$T_3 = T_2 - \frac{P_1}{2 R_2 \cdot \pi R_3^2 H N}$$

Avec $R_3 = \frac{d}{2} - e$:

$$T_3 = T_2 - \frac{P_1}{2 \pi H N R_2 \left(\frac{d}{2} - e \right)} = T_2 - \frac{P_1}{N R_2 \cdot \pi H (d - 2e)}$$

95- la gamme est restreinte au pour thermique différent. En supposant le raisonnement de q2, en l'absence de sources de chaleur :

$$\frac{d}{dx} \left(x \frac{dT}{dx} \right) = 0 \quad \text{pour } x \in [R_3; R_4]$$

$$\Rightarrow \frac{dT}{dx} = \frac{A'}{x} \quad \text{avec } A' = \text{constante réelle}$$

$$\Rightarrow T(x) = A' \ln(x) + B' \quad \text{avec } B' = \text{constante réelle}$$

Or $T(R_4) = T_u \Rightarrow A' \ln(R_4) + B' = T_u \Rightarrow B' = T_u - A' \ln(R_4)$

Donc $T(x) = T_u + A' \ln\left(\frac{x}{R_4}\right)$. Par ailleurs, par continuité de la flux

Assumons que dans la gamme :

$$P_1 = j_{\text{th}}(x) \times 2 \pi x H N$$

car toute la puissance générée dans la couche doit traverser la surface

externe des N garnis de largeur x .

Annexi : $P_1 = -\lambda_3 \frac{dT}{dx} \times 2 \pi H N \times x = -\lambda_3 A' \frac{x}{dx} \times 2 \pi H N \times x$

$$\Rightarrow P_1 = -\lambda_3 A' \frac{2 \pi H N x^2}{R_4} \Rightarrow A' = -\frac{P_1 R_4}{\lambda_3 2 \pi H N x^2}$$

$$T(x) = T_u - \frac{P_1 R_4}{\lambda_3 2 \pi H N} \ln\left(\frac{x}{R_4}\right)$$

96- Par continuité du flux thermique en R_4 :

$$P_1 = R_{41} \cdot \text{sect} \cdot (T_u - T_5)$$

$$\Rightarrow T_u = T_5 + \frac{P_1}{R_{41} \cdot \text{sect}}$$

A.N. : $T_u - T_5 = \frac{2,776 \times 10^9}{25 \times 10^3 \times x} = 24,5 \text{ K}$

donc $T_u = 322,5^\circ \text{C}$ avec $T_5 = 303^\circ \text{C}$.

• $T(R_3) = T_3 = T_u - \frac{P_1}{\lambda_3} \frac{R_4}{\text{sect}} \ln\left(\frac{R_3}{R_4}\right)$ avec $R_3 = R_4 - e = \frac{d}{2} - e$

$$\Rightarrow T_3 = T_u - \frac{P_1}{\lambda_3} \times \frac{d}{2 \cdot \text{sect}} \ln\left(1 - \frac{e}{R_4}\right)$$

A.N. : $T_3 - T_u = -\frac{2,776 \times 10^9}{16} \times \frac{3,5 \times 10^{-3}}{2 \times 4577,5} \ln\left(1 - \frac{0,60}{9,5/2}\right)$

$$\Rightarrow T_3 \approx 352,1^\circ \text{C} \quad (T_3 - T_u = 29,6 \text{ K})$$

$$\cdot T_2 = T_3 + \frac{P_1}{N R_2 \pi H (d - 2e)}$$

$$\Rightarrow T_2 - T_3 = \frac{2,776 \times 10^9}{42614,8 \times 10 \times 10^3 \times \pi \times 3,66 \times (9,5 - 0,6) \times 10^{-3}} = 65,4 \text{ K}$$

On en déduit, par intégration entre 0 et H :

$$\int_{T(H)=T_3}^{T(H)=T_2} dt = \frac{2\alpha H R_a^2}{c_{Dm}} \int_0^H \sin\left(\frac{\pi y}{H}\right) dy$$

$$T(0) = T_e$$

$$\Rightarrow T_2 - T_e = \frac{2\alpha H R_a^2}{c_{Dm}} \left[\cos\left(\frac{\pi x}{H}\right) - \cos\left(\frac{\pi x H}{H}\right) \right]$$

$$\Rightarrow T_2 - T_e = \frac{2\alpha H R_a^2}{c_{Dm}} \quad (> 0, \text{ comme attendu}).$$

On obtient de même : $T(y) = -\frac{2\alpha H R_a^2}{c_{Dm}} \cos\left(\frac{\pi y}{H}\right) + \alpha$ (K: cste R)

Or $T(0) = T_e$ et $\frac{2\alpha H R_a^2}{c_{Dm}} = \frac{T_2 - T_e}{2}$, donc : $\alpha = T_e + \frac{T_2 - T_e}{2}$

$$\Rightarrow \alpha = \frac{T_e + T_2}{2}$$

$$T(y) = \frac{T_e + T_2}{2} + \frac{T_e - T_2}{2} \cos\left(\frac{\pi y}{H}\right)$$

q11 - Soit la tranche de fluide en écoulement entre y et $y+dy$.

En régime stationnaire, la flux reçu par la fluide est égal à la puissance thermique déversée par la section de finion dans le volume $dt = TR_a^2 dy$. Ainsi :

$$\phi_{ce} = \int_0^{2\pi} \rho_{air} \left(\frac{\pi y}{H}\right) TR_a^2 dy$$

$$\Rightarrow \rho_{ce} \cdot 2\pi R_a dy (T_0(y) - T(y)) = \int_0^{2\pi} \rho_{air} \left(\frac{\pi y}{H}\right) TR_a^2 dy$$

$$\Rightarrow T_0(y) - T(y) = \frac{\rho_{air} R_a}{\rho_{ce}} \sin\left(\frac{\pi y}{H}\right)$$

$$\Rightarrow T_H(y) = \frac{T_e + T_2}{2} + \frac{T_e - T_2}{2} \cos\left(\frac{\pi y}{H}\right) + \frac{\rho_{air} R_a}{\rho_{ce}} \sin\left(\frac{\pi y}{H}\right)$$

On se donne q_{10} , $P_0 = \frac{T_2 - T_e}{2} \times \frac{c_{Dm}}{H R_a^2}$, donc :

$$T_H(y) = \frac{T_e + T_2}{2} + \frac{T_e - T_2}{2} \cos\left(\frac{\pi y}{H}\right) + \frac{T_2 - T_e}{2} \times \frac{c_{Dm}}{2\rho_{ce} H R_a} \sin\left(\frac{\pi y}{H}\right)$$

$$\Rightarrow T_H(y) - T_e = \frac{T_2 - T_e}{2} + \frac{T_2 - T_e}{2} \cos\left(\frac{\pi y}{H}\right) + \frac{T_2 - T_e}{2} \times \frac{c_{Dm}}{2\rho_{ce} H R_a} \sin\left(\frac{\pi y}{H}\right)$$

$$\Rightarrow \frac{T_H(y) - T_e}{T_2 - T_e} = \frac{1}{2} \left[1 - \cos\left(\frac{\pi y}{H}\right) + \frac{c_{Dm}}{2\rho_{ce} H R_a} \sin\left(\frac{\pi y}{H}\right) \right]$$

On substitue la valeur de β dans l'équation en prenant $B = -1$

$$dt = \frac{c_{Dm}}{2\rho_{ce} H R_a}$$

q12 - On considère la tranche de combustible située en r et de hauteur

de dr traversant la surface $dS = 2\pi r dr$ et égal, en

régime stationnaire, à la puissance générée dans le volume

$dt = TR_a^2 dy$. Ainsi :

$$P_r dt = \int_0^{2\pi} \dot{q}_{th} \cdot dS = -\lambda_e \frac{\partial T}{\partial r} (r, z) \cdot 2\pi r dz$$



$$\Rightarrow \frac{\partial T}{\partial r} (r, z) = -\frac{\rho_{air} \dot{q}_{th} (r, z)}{2\lambda_e r} dz$$

$$\Rightarrow \frac{\partial T}{\partial r} (r, z) = -\frac{\rho_{air} \dot{q}_{th} (r, z)}{2\lambda_e r}$$

$$\Rightarrow T(r, z) = -\frac{\rho_{air} \dot{q}_{th} (r, z)}{4\lambda_e} r^2 + \beta(z)$$

avec $\beta(z)$: fonction scalaire indépendante de r .

On a $T(R_{a1}, \beta) = T_h(\beta) + \frac{D_0}{4\lambda_2} \sin\left(\frac{\pi\beta}{H}\right) R_{a1}^2$.

Annexi: $T_e(\alpha, \beta) = \frac{D_0 R_{a1}^2}{4\lambda_2} \left[1 - \frac{\alpha^2}{R_{a1}^2} \right] \sin\left(\frac{\pi\beta}{H}\right) + T_h(\beta)$

d'Alais de de q_{10} :

$$\frac{T_e(\alpha, \beta) - T_e}{T_s - T_e} = \frac{D_0 R_{a1}^2}{4\lambda_2 \alpha^2 (1 - \frac{\alpha^2}{R_{a1}^2})} \sin\left(\frac{\pi\beta}{H}\right) + \frac{T_h(\beta) - T_e}{T_s - T_e}$$

$$\Rightarrow \frac{T_e(\alpha, \beta) - T_e}{T_s - T_e} = \frac{D_0 R_{a1}^2}{4\lambda_2 \alpha^2 (1 - \frac{\alpha^2}{R_{a1}^2})} \sin\left(\frac{\pi\beta}{H}\right) + \frac{T_h(\beta) - T_e}{T_s - T_e} + \frac{G_{Dm} \sin\left(\frac{\pi\beta}{H}\right)}{4k_c H R_{a1}}$$

$$\Rightarrow \frac{T_e(\alpha, \beta) - T_e}{T_s - T_e} = \frac{1}{2} \left[1 - \cos\left(\frac{\pi\beta}{H}\right) \right] + \left[\frac{G_{Dm}}{4k_c H R_{a1}} + \frac{D_0 R_{a1}^2}{(1 - \frac{\alpha^2}{R_{a1}^2}) \lambda_2} \left(1 - \frac{\alpha^2}{R_{a1}^2} \right) \right] \sin\left(\frac{\pi\beta}{H}\right)$$

On soustraire a deux membres d'un membre on trouve $D = -1$, $E = \frac{G_{Dm}}{4k_c H R_{a1}}$ et

$$F = \frac{D_0 R_{a1}^2}{4\lambda_2 (1 - \frac{\alpha^2}{R_{a1}^2})} = \frac{G_{Dm}}{8H\lambda_2}$$

q13- Pour $\alpha = 0$:

$$\frac{T_e(0, \beta) - T_e}{T_s - T_e} = \frac{1}{2} \left[1 - \cos\left(\frac{\pi\beta}{H}\right) \right] + \left[\frac{G_{Dm}}{4k_c H R_{a1}} + \frac{G_{Dm}}{8H\lambda_2} \right] \sin\left(\frac{\pi\beta}{H}\right)$$

$$\Rightarrow T_e(0, \beta) = T_e + \frac{T_s - T_e}{2} \left[1 - \cos\left(\frac{\pi\beta}{H}\right) \right] + (T_s - T_e) \frac{G_{Dm}}{4H} \left[\frac{1}{k_c R_{a1}} + \frac{1}{2\lambda_2} \right] \sin\left(\frac{\pi\beta}{H}\right)$$

On calcule $\frac{dT_e}{d\beta} = 0 \Rightarrow \frac{T_s - T_e}{2} \times \frac{\pi}{H} \sin\left(\frac{\pi\beta}{H}\right) + (T_s - T_e) \frac{G_{Dm}}{4H} \left[\frac{1}{k_c R_{a1}} + \frac{1}{2\lambda_2} \right] \cos\left(\frac{\pi\beta}{H}\right) = 0$

$$\Rightarrow \sin\left(\frac{\pi\beta}{H}\right) = - \frac{G_{Dm}}{2H} \left[\frac{1}{k_c R_{a1}} + \frac{1}{2\lambda_2} \right] \cos\left(\frac{\pi\beta}{H}\right)$$

$$\Rightarrow \tan\left(\frac{\pi\beta}{H}\right) = - \frac{G_{Dm}}{2H} \left[\frac{1}{k_c R_{a1}} + \frac{1}{2\lambda_2} \right] \text{ avec } 0 \leq \beta \leq H$$

On a $\tan(\alpha) < 0$ pour $\alpha \in]\frac{\pi}{2}, \pi[$ ($+\pi$) si $\alpha > 0$ ($\beta \in \mathbb{Z}$).

Annexi

$$\beta_m = \frac{H}{\pi} \left[\arctan\left(-\frac{G_{Dm}}{2H} \left[\frac{1}{k_c R_{a1}} + \frac{1}{2\lambda_2} \right] \right) + \pi \right]$$

A.N.: $\beta_m = \frac{3,66}{\pi} \arctan\left(-\frac{5750 \times 0,30}{2 \times 3,66} \left[\frac{1}{33 \times 10^3 \times \frac{9,15 \times 10^{-3}}{2 \times 3,15}} + \frac{1}{2 \times 3,15} \right] \right) + 3,66$

$$\Rightarrow \beta_m \approx 1,97 \text{ m (est proche de } \frac{H}{2} \text{)}$$

et $T_e(0, \beta_m) \approx 370^\circ \text{C}$. $T_e(0, \beta_m) < T_{\text{fus}}$: le critère de sécurité en température est respecté.

q15- Pour $\beta \ll H$: $\cos\left(\frac{\pi\beta}{H}\right) \approx 1$ et $\sin\left(\frac{\pi\beta}{H}\right) \approx \frac{\pi\beta}{H}$.

On en déduit : $T_p(\beta) \approx \frac{T_e + T_s}{2} + \frac{T_e - T_s}{2} + \frac{T_s - T_e}{2} \times \frac{G_{Dm}}{2k_c H R_{a1}} \times \frac{\pi\beta}{H}$

$$\Rightarrow T_e(\beta) = T_e + \frac{T_s - T_e}{2} \times \frac{G_{Dm}}{2k_c H R_{a1}} \beta = a + b\beta$$

$T_e(\beta)$ évolue de manière affine avec β . Quand $\beta = 0$, on retrouve $T_p(0) = T_e = 284^\circ \text{C}$ comme montré par le graphique.

On remarque que certains gas d'eau se séparent au contact du combustible nucléaire, ce qui entraîne une augmentation de la température de la phase au fur et à mesure de l'écartement.

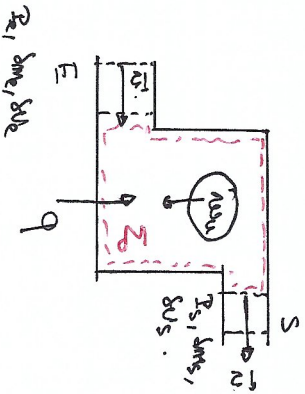
Elle atteint un maximum vers 2,5m. Il y a compétition entre l'eau qui se sépare quand β augmente et puissance émise

maximale en $\beta = \frac{H}{2} (\beta_m)$, ce qui conduit à son maximum au centre de β_m .

À 3,66m, on retrouve $T_s = 322^\circ \text{C}$.

$T_p < 325^\circ \text{C}$ $\forall \beta \in [0; H]$: la vitesse de réaction "l'eau ne se vaporise pas" est respectée ($T_{\text{vap}}(325^\circ \text{C}) = 325^\circ \text{C}$).

Étude du circuit pédonculaire



916-

On considère les systèmes :

- $\Sigma_1 (V)$: volume de contrôle S_1 contenant la floue présente dans la machine ;
- Σ_2 : masse S_m de fluide extracté dans la machine entre t et $t+dt$;
- Σ_3 : masse S_{ms} restant

On applique le système fermé $\Sigma^*(t)$ tel que $\Sigma^*(t) = \Sigma_1(t) \cup \Sigma_2$ et

$$\Sigma^*(t+dt) = \Sigma_1(t+dt) \cup \Sigma_3$$

La thermodynamique à Σ^* , en négligeant les variations d'énergie

ME courique :
$$dU_{\Sigma^*} = S_1 u_1 + \delta Q + \delta W_{1 \rightarrow 2}$$

On obtient :
$$dU_{\Sigma^*} = U_{\Sigma_1}(t+dt) - U_{\Sigma_1}(t) = U_{\Sigma_1}(t+dt) - U_{\Sigma_1}(t) - U_{\Sigma_2}$$

avec $U_{\Sigma_2}(t+dt) = U_{\Sigma_2}(t)$ en écoulement stationnaire, et U_{Σ_2} l'énergie interne des systèmes Σ_2 .

On en déduit :
$$U_{\Sigma_1} - U_{\Sigma_2} = S_1 u_1 + \delta Q + \delta W_{1 \rightarrow 2}$$

Trouvant des forces pressurantes : $S_1 u_1 = \delta W_{1 \rightarrow 2} + \delta W_{2 \rightarrow 1}$

$$\Rightarrow \delta W_{1 \rightarrow 2} = P_2 S_2 - P_1 S_1$$

Donc
$$S_1 u_1 + P_1 S_1 - (P_2 S_2 + P_1 S_1) = \delta W_{1 \rightarrow 2} + \delta Q$$

$$\Rightarrow H_{\Sigma_1} - H_{\Sigma_2} = \delta W_{1 \rightarrow 2} + \delta Q$$

En régime stationnaire, $S_1 u_1 = S_2 u_2 = S_m u_m (= S_m dt)$

donc :

$$P_{E1} - P_{E2} = \frac{S_2 u_2}{S_m} + \frac{\delta Q}{S_m}$$

$$\Rightarrow P_{E1} - P_{E2} = u_2 a + q$$

917- R'eau liquide est une phase incompressible. Sa pompe fournit de manière isentropique :

$$\Delta P_{0 \rightarrow 1} = c_{eau} P_0 \left(\frac{T_1}{T_0} \right) = 0 \Rightarrow T_1 = T_0$$

En négligeant la travail utile de la pompe : $W_{0 \rightarrow 1} = 0$

et comme $P_{0 \rightarrow 1} = 0$: $\Delta P_{0 \rightarrow 1} = P_1 - P_0 = 0 \Rightarrow P_1 = P_0$

La transformation $0 \rightarrow 1$ est donc à la fois isentropique, isobare et isenthalpique.

Une transformation isentropique d'une phase liquide (incompressible) est donc une verticale dans le diagramme des fonctions.

918- Courbes en y-entropie : isenthalpique

• Courbes en x-entropie : isobares

• Verticales : isenthalpique ; horizontales : isobares

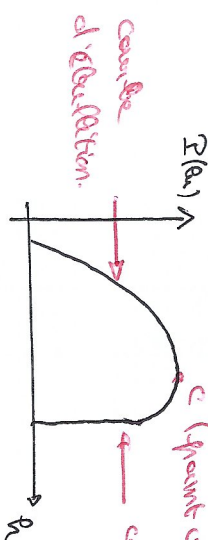
• Courbe en z-entropie : courbe de saturation ;

• Courbe en y-entropie : isobares (isothermes) ;

• Courbe en x-entropie : courbe de saturation ;

• Courbe en z-entropie : courbe de saturation ;

Cycle : p. diagramme.



919 - Selon la troisième des moments appliquée en (3) :

$$x_{1,3} = \frac{h_3 - h_{air}(29^\circ\text{C})}{h_{vap}(29^\circ\text{C}) - h_{air}(29^\circ\text{C})} =$$

$$\Rightarrow x_{1,3} = \frac{6,61 - 0,42}{8,47 - 0,42} \approx 0,78$$

$$\text{car } h_3 = h_{e'} = 6,68 \text{ kJ} \cdot \text{kg}^{-1} \cdot \text{K}^{-1}$$

On en déduit : $x_{1,3} = \frac{h_3 - h_{air}(29^\circ\text{C})}{h_{vap}(29^\circ\text{C}) - h_{air}(29^\circ\text{C})}$

$$\Rightarrow h_3 = h_{air}(29^\circ\text{C}) + x_{1,3} (h_{vap}(29^\circ\text{C}) - h_{air}(29^\circ\text{C}))$$

A.N. : $h_3 = 121 + 0,78 \cdot (2554 - 121) \approx 2019 \text{ kJ} \cdot \text{kg}^{-1}$

Tp : cette valeur est cohérente avec celle du diagramme.

920 - Efficacité : $\eta = \left| \frac{\text{utile}}{q_{cv}} \right|$ avec q_{cv} la steam fait

Provenant dans le générateur de vapeur et dans le strouard inverse que échange avec la machine.

Tout dans calorifuge : $\Delta h_{v1 \rightarrow 3} = \text{utile} + q_{2 \rightarrow 3} = \text{utile}$ car $q_{2 \rightarrow 3} = 0$

Donc $h_{v1} = h_3 - h_{e'}$

Générateur de vapeur : pas de réaction métrén, donc $u_{év} = 0$.

Ainsi : $q_{cv} = \Delta h_{1 \rightarrow 2} = h_2 - h_1$

On en déduit : $\eta = \left| \frac{h_3 - h_{e'}}{h_2 - h_1} \right| \Rightarrow \eta = \left| \frac{2019 - 3394}{3394 - 121} \right| \approx 0,42$

921 - Pour une machine de Carnot :

$$\eta_c = - \frac{u}{Q_c} \quad \text{avec } Q_c : \text{Steam fait le moins que de la machine à vapeur}$$

u : travail dérivé par le moteur.

Sur un cycle : $\Delta U = 0$

$$\Rightarrow Q_c + Q_h + u = 0 \Rightarrow u = -(Q_c + Q_h)$$

Donc : $\eta_c = 1 + \frac{Q_h}{Q_c}$

$\Delta S = \frac{Q_c}{T_c} + \frac{Q_h}{T_h} = 0$ (cycle réversible)

Donc $\eta_c = 1 + \frac{Q_h}{Q_c}$ et $\frac{Q_h}{Q_c} = - \frac{T_c}{T_h}$

$$\Rightarrow \eta_c = 1 - \frac{T_c}{T_h}$$

A.N. : $T_c = 550^\circ\text{C} = 773\text{K}$ et $T_h = 29^\circ\text{C} = 302\text{K}$

$$\Rightarrow \eta_c = 1 - \frac{302}{773} \approx 0,61$$

Le cycle de Carnot est exempt d'irréversibilités (pas de frottements, pas de pertes dans les systèmes mécaniques, pas de diffusion thermique entre fluides et composants...). Ceci n'est jamais réalisé en pratique.

922. La mesure d'efficacité est calculée à partir des transformations :

• $1 \rightarrow 2'$: $q_{ev} = R_{2'} - R_1$

• $2' \rightarrow u$: $w_{turb,1} = R_u - R_{2'}$

• $u \rightarrow u'$: $q_{cond,1} = R_{u'} - R_u$

• $u' \rightarrow 5$: $w_{turb,2} = R_5 - R_{u'}$

Année : $\eta' = \frac{w_{turb,1} + w_{turb,2}}{q_{ev} + q_{cond,1}} = \frac{R_5 + R_u - (R_{2'} + R_u)}{(R_{2'} + R_{u'}) - (R_u + R_u)}$

A.N. : $\eta' = \frac{2220 + 3020 - (3391 + 3450)}{3391 + 3450 - (121 + 3020)}$

$\Rightarrow \eta' \approx 0,43$

d'efficacité est donc légèrement augmentée. On remarque par ailleurs

que $\eta_{1,5} = \frac{R_5 - R_{1q}(29^\circ C)}{R_{1q}(29^\circ C) - R_{1q}(29^\circ C)} = \frac{2220 - 121}{2554 - 121} \approx 0,86 > \eta_{1,3}$.

On voit cependant bien que $\eta_{1,5} \approx 1$ déduit dans l'énoncé...

923. d'efficacité du cycle est calculée à partir des travaux utiles développés par les turbines, HP et BP liées à l'alternateur et des échanges nécessaires pour chauffer ou refroidir le fluide.

* d'eau se refroidit et se vaporise dans les échangeurs alimentés.

Dans ces échangeurs, elle s'échauffe avec un débit $\dot{m}_m = 5 \text{ kg/s}$ et R^{-1} (température) et perd de cette énergie thermique d'entrée

$R_e = 911,7 \text{ B.T. kg}^{-1}$ et de sortie $R_s = 2788,4 \text{ B.T. kg}^{-1}$.

On en déduit : $\dot{Q}_{ev} = \dot{m}_m \times (R_s - R_e)$ (1^{er} principe énergétique).

$\Rightarrow \dot{Q}_{ev} = \frac{5442,1 \times 10^3}{3600} \times (2788,4 - 911,7)$

$\Rightarrow \dot{Q}_{ev} \approx 2,78 \times 10^6 \text{ W}$.

Il doit y avoir la puissance du réservoir - avec \dot{Q}_{ev} pour :

~~Non, d. $\dot{Q}_{ev} = \dot{m}_m \times (R_s - R_e)$
 $\dot{Q}_{ev} = 403,7 \times 10^3 \times \frac{1}{3600} \times 2797,1 \approx 3,13 \times 10^5 \text{ W}$.~~

* La turbine HP fournit la puissance :

$\dot{P}_{HP} = \dot{m}_m \times \text{admission} \times h_{admission} - (\dot{m}_m R_s + \dot{m}_m R_5 + \dot{m}_m R_u + \dot{m}_m R_{1q})$

et d'on voit bien que $\dot{m}_m \times \text{admission} = \dot{m}_m + \dot{m}_m + \dot{m}_m + \dot{m}_m$

Les valeurs admises de réservoir - avec \dot{Q}_{ev} pour provient de l'équilibre c'est ici que l'on prend en compte la perte de la partie de l'efficacité due au réservoir.

$\dot{P}_{HP} = 5001,9 \times \frac{4000}{3600} \times 2797,1 - (24,3 \times 2682,5 + 207,4 \times 2582,6 + 102,1 \times 2582,8 + 4777,1 \times 2582,8) \times \frac{4000}{3600}$

$\Rightarrow \dot{P}_{HP} \approx 3,04 \times 10^5 \text{ W}$.

* La machine BP fournit la puissance :

$$P_{GE} = P_{m, \text{val}, BP} \times P_{act, BP} + (P_{m_3} R_3 + P_{m_2} R_2 + P_{m_1} R_1 + P_{m, \text{cond}} A_{\text{cond}})$$

$$A.N.: P_{GE} = [3704,0 \times 2370,4 - (284,4 \times 2734,5 + 235,4 \times 2538,9 + 4342 \times 2377,8 + 3053,0 \times 2242,2)] \times \frac{1000}{3600}$$

$$\Rightarrow P_{GE} \approx 6,87 \times 10^5 \text{ W}$$

La puissance disponible aux bornes de l'alternateur est donc :

$$P = P_{HE} + P_{GE} = (3,01 + 6,87) \times 10^5 = 9,88 \times 10^5 \text{ W}$$

soit 988 MW.

$$\text{L'efficacité du cycle est } \eta_{\text{cycle}} = \frac{P}{P_{ev}} = \frac{9,88 \times 10^5}{2,78 \times 10^6} \approx 0,35$$

La puissance réellement disponible n'est que de 960 MW, probablement à cause de pertes d'énergie liées au fonctionnement réel de la centrale

(pertes dans les frottements, les pertes dans les transformateurs, par exemple).

Par ailleurs, l'alternateur possède aussi son rendement inférieur à 1

(conversion mécanique - électrique non-ideale).

Annexe : diagramme des frigorigères du fluide R718

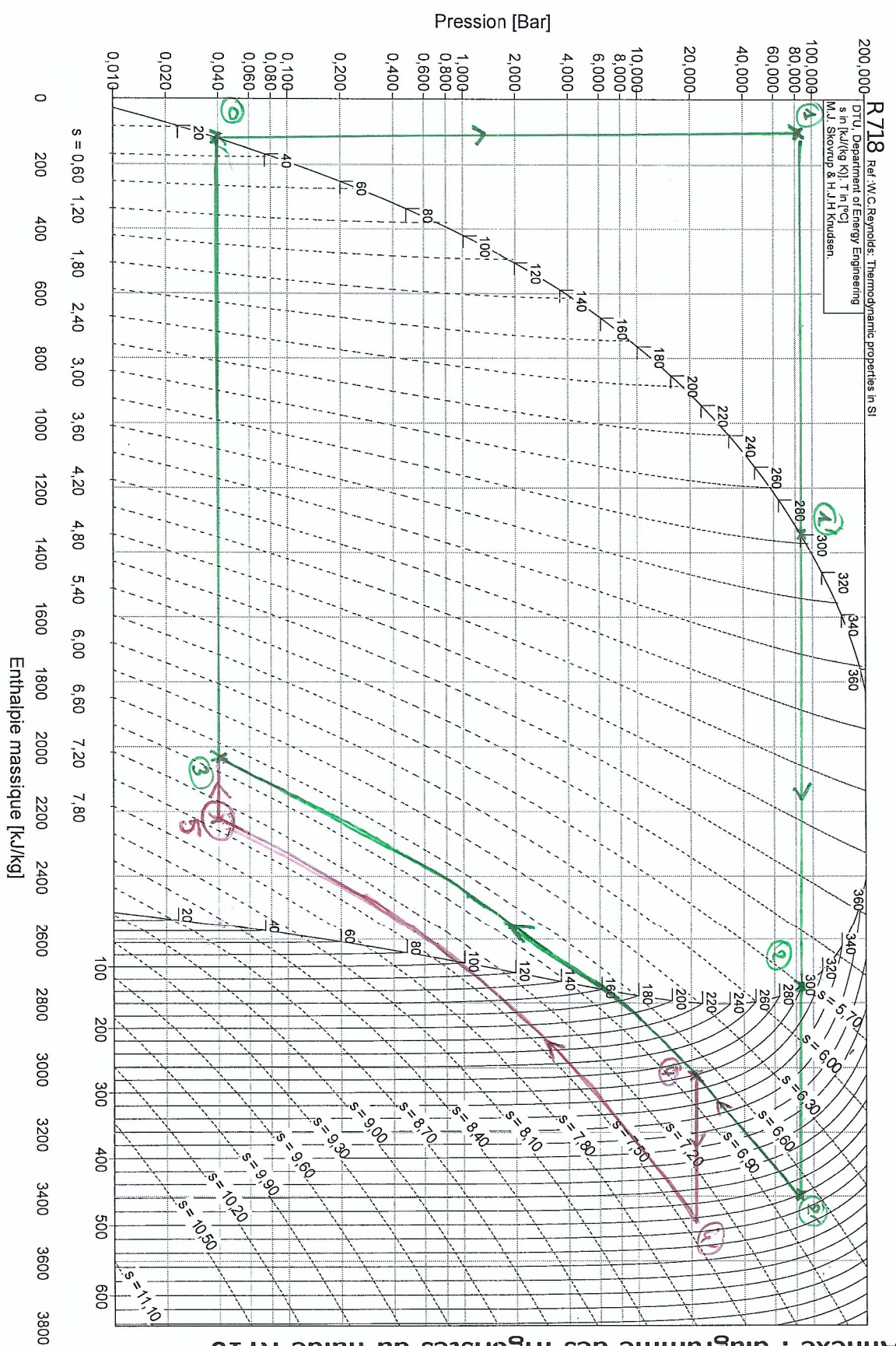


Diagramme des frigorigères.
La pression est exprimée en bar, l'entropie massique en $\text{kJ}\cdot\text{kg}^{-1}\cdot\text{K}^{-1}$, l'enthalpie massique en $\text{kJ}\cdot\text{kg}^{-1}$ et la température en $^{\circ}\text{C}$.

Étude d'un minéral d'uranium

Étude du dioxyde d'uranium

Q1 - On calcule : $M_U = 0,9927 M_{U^{238}} + 0,0072 M_{U^{235}} + 0,0005 M_{U^{234}}$

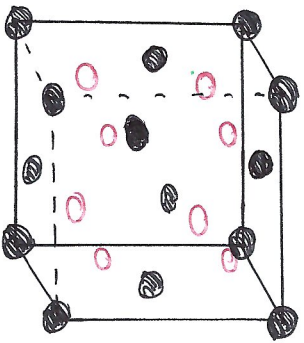
On suppose que $M_{U^{238}} = x \text{ g} \cdot \text{mol}^{-1}$. Alors :

$$M_U = 0,9927 \times 238 + 0,0072 \times 235 + 0,0005 \times 234 \approx 237,97 \text{ g} \cdot \text{mol}^{-1}$$

Q2 : Il faudrait ici ne supposer que la masse molaire d'un isotope vaut la somme de sa masse exprimée en $\text{g} \cdot \text{mol}^{-1}$.

En cas des deux autres hypothèses, on conserve

$$M_U \approx 238 \text{ g} \cdot \text{mol}^{-1}$$



● : U^{4+}
○ : O^{2-}
Les ions U^{4+} sont situés aux centres des cubes d'arête a .

Q3 - Il y a contact entre anions et cations le long de la diagonale des cubes. Alors : $r_U + r_O = \frac{a\sqrt{3}}{4}$

$$\Rightarrow a = \frac{4}{\sqrt{3}} (r_U + r_O)$$

A.N. : $a = \frac{4}{\sqrt{3}} (110 + 120) \approx 534 \text{ nm}$

Q4 : on ne perdent le contact qui existe cation U^{4+} la long d'une face du cube, $a = \frac{4r_U}{\sqrt{2}} = \frac{4 \times 110}{\sqrt{2}} = 344 \text{ nm}$. La taille d'un site tétraédrique est donc $r_T = \frac{\sqrt{3}}{4} a - r_U = \frac{\sqrt{3}}{4} \times 344 - 110 \approx 25$ tout peut pour occuper O^{2-} . Cette hypothèse est donc rejetée.

Q4 - Ion U^{4+} : $Z_+ = 8 \times \frac{1}{8} + 6 \times \frac{1}{2} = 4$

• Ion O^{2-} : $Z_- = 8 \times 1 = 8$

• Coordonnées O^{2-} (U^{4+}) : 4, car O^{2-} est sur une arête tétraédrique. U^{4+} est entouré de 8 sites tétraédriques : $4 \times \frac{1}{8} \pi$ donc 8.

• Compacité : $C = \frac{\text{Volume occupé par les atomes dans une maille}}{\text{Volume de la maille}}$

$$\Rightarrow C = \frac{4 \times \frac{4}{3} \pi r_U^3 + 8 \times \frac{4}{3} \pi r_O^3}{a^3}$$

$$\Rightarrow C = \frac{16\pi}{3} \left(\frac{r_U^3 + 2r_O^3}{a^3} \right) \quad \text{A.N. : } C \approx 0,54$$

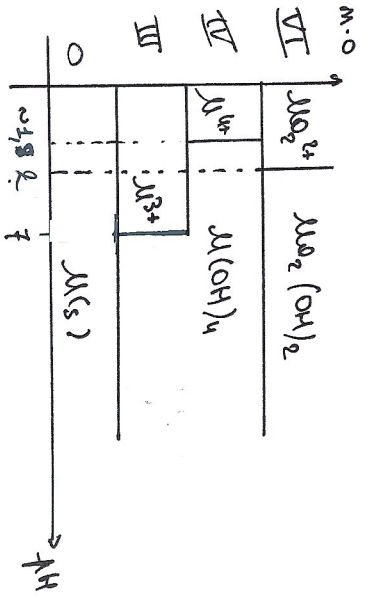
Q5 - Masse volumique que : $\rho = \frac{N \times M_{UO_2}}{a^3}$
avec N la population en UO_2 : $N = 4$ ici. Or $M_{UO_2} = \frac{M_U + 2M_O}{M_A}$
avec M_A la masse d'atome. Alors :

$$\rho = \frac{N M_{UO_2}}{M_A a^3}$$

A.N. : $\rho = \frac{4 \times (238 + 2 \times 16)}{6,08 \times 10^{23} \times (534 \times 10^{-12})^3} \approx 12 \times 10^5 \text{ g} \cdot \text{cm}^{-3}$
soit $12 \times 10^3 \text{ kg} \cdot \text{m}^{-3}$ (densité de 12).

Détermination du faciès de l'uranium

96 - Diagramme simplifié :



m.o. (U) = 0 ; m.o. (U³⁺) = +III ; m.o. (U⁴⁺) = +IV
 m.o. (U | UO₂²⁺) = +VII ; m.o. (U | U(OH)₃) = +III ; m.o. (U | U(OH)₄) = +IV
 m.o. (U | UO₂(OH)₂) = +VI

Les formes U(OH)₃(s), U(OH)₄(s) et UO₂(OH)₂ sont issues de la précipitation des cations U³⁺, U⁴⁺ et UO₂²⁺ par les ions HO⁻ présents à pH suffisamment élevé. Leur domaine de prédominance est donc à pH plus élevé que leurs cations associés.

On en déduit :

- A : UO₂²⁺ ; B : UO₂(OH)₂
- C : U⁴⁺ ; D : U(OH)₄
- E : U³⁺(aq)
- F : U(s)(aq)

On remarque que la forme U(OH)₃(s) ne s'observe pas ici. Il n'y a pas de frontière verticale marquant la fin du domaine d'existence de U³⁺(aq). U(OH)₃(s) se déduit de U(s) et U(OH)₄(s).

97 - Règle UO₂²⁺ | U⁴⁺ : UO₂²⁺ + 4H⁺ + 2e⁻ = U⁴⁺ + 2H₂O

$$E(UO_2^{2+} | U^{4+}) = E^{\circ}(UO_2^{2+} | U^{4+}) + \frac{0,05}{2} \log \left(\frac{[H^+]^4 [UO_2^{2+}]}{[U^{4+}] (C^{\circ})^4} \right)$$

On à la frontière [UO₂²⁺] = [U⁴⁺] = 1 mol. L⁻¹, donc :

$$E(UO_2^{2+} | U^{4+}) = E^{\circ}(UO_2^{2+} | U^{4+}) + 0,025 \log \left(\frac{[H^+]^4}{(C^{\circ})^4} \right) = E^{\circ}(UO_2^{2+} | U^{4+}) - 0,12 \text{ pH}$$

car pH = -log([H⁺]/C^o).

La pente est donc de -0,12 V (par unité de pH).

98 - Entre A et B : UO₂²⁺ | UO₂(OH)₂(s) :



$$K_s(UO_2(OH)_2(s)) = \frac{[UO_2^{2+}]_{aq} [HO^-]_{aq}^2}{(C^{\circ})^3 \alpha(UO_2(OH)_2(s))_{aq}}$$

Or $\alpha(UO_2(OH)_2(s))_{aq} = 1$ et à la frontière, [UO₂²⁺]_{aq} = 1 mol. L⁻¹.

Ainsi : $K_s(UO_2(OH)_2(s)) = \frac{[HO^-]_{aq}^2}{(C^{\circ})^2} = 10^{-24}$ (cf. données).

On en déduit : [HO⁻]_{aq} = 10⁻¹² mol. L⁻¹

et $[H_3O^+]_{aq} = \frac{(C^{\circ})^3 K_s}{[HO^-]_{aq}} = 10^{-2}$ mol. L⁻¹

Donc pH(HB) = -log([H₃O⁺]/C^o) = 2.

Entre C et D : U⁴⁺ | U(OH)₄(s) : U⁴⁺(aq) + 4HO⁻(aq) = U(OH)₄(s)

$$K_s(U(OH)_4(s)) = \frac{[U^{4+}]_{aq} [HO^-]_{aq}^4}{(C^{\circ})^5 \alpha(U(OH)_4(s))} = \frac{[HO^-]_{aq}^4}{(C^{\circ})^4}$$

pour un même système que précédemment.

Ammoniac: $[H_3O^+]_{aq} = 10^{-4.9} \cdot (CO)_4 \Rightarrow [H_3O^+]_{aq} = 10^{-\frac{4.9}{4}} \text{ mol} \cdot L^{-1}$

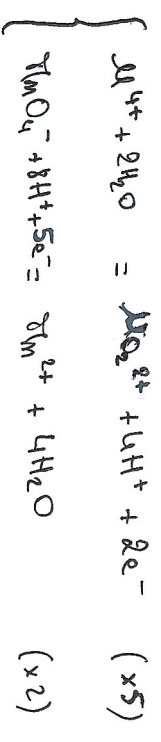
D'ou $[H_3O^+]_{aq} = \frac{(CO)_4}{[H_3O^+]_{aq}} = 10^{-4.9} \times 10^{\frac{4.9}{4}} = 10^{-7.14} \text{ mol} \cdot L^{-1}$

et $pH(C1D) = -\log\left(\frac{[H_3O^+]_{aq}}{C_0}\right) = \frac{7}{4} \approx 1,75$.

Q3- La superposition des diagrammes montre que Mn^{2+} et Cr^{2+} précipitent des domaines disjoint. Ces espèces s'engagent en milieu acide pour donner Cr^{3+} et Mn^{4+} , qui précipitent des domaines joints donc vont précipiter en solution. (précipitant un domaine de précipitation disjoint de Cr^{2+}).

Q40- $O_2(g)$ est un oxydant: les ions chrome (II) vont donc oxydés en ions chrome (III), précipités en solution aqueuse (Pg: $Cr^{2+}(aq)$ est spontanément oxydé).

Q41- les ions chrome n'étant plus simplifiés, mais les ions Mn^{4+} pourrants être oxydés pour les ions permanganate MnO_4^- :



Q42- à l'équilibre entre ces deux couples:

$$\begin{aligned} E_{eq}(MnO_2/Mn^{4+}) &= E_{eq}(MnO_4^-/Mn^{2+}) \\ \Rightarrow E^\circ(MnO_2/Mn^{4+}) + \frac{0,06}{2} \log\left(\frac{[MnO_2]_{aq}[H^+]_{aq}^4}{[Mn^{4+}]_{aq}(CO)_4}\right) \\ &= E^\circ(MnO_4^-/Mn^{2+}) + \frac{0,06}{5} \log\left(\frac{[MnO_4^-]_{aq}[H^+]_{aq}^8}{[Mn^{2+}]_{aq}(CO)_8}\right) \end{aligned}$$

$$\Rightarrow \frac{0,06}{20} \log\left(\frac{[MnO_2]_{aq}^5 [H^+]_{aq}^{20} [Mn^{2+}]_{aq}^{10} (CO)^{20}}{[Mn^{4+}]_{aq}^5 (CO)^{20} [MnO_4^-]_{aq}^2 [H^+]_{aq}^{16}}\right)$$

$$= E^\circ(MnO_4^-/Mn^{2+}) - E^\circ(MnO_2/Mn^{4+})$$

$$\Rightarrow \frac{10(E^\circ(MnO_4^-/Mn^{2+}) - E^\circ(MnO_2/Mn^{4+}))}{0,06} = K^\circ = 10$$

A.N.: $K^\circ = 10^{200}$

Q43- calcination de $(NH_4)_2 H_2O_7(s)$; produits de réaction: NH_3 et $MnO_3(s)$ au minimum. chimie:



Pg: la calcination consiste à chauffer un solide pour le décomposer en de plus petites molécules.